

Star-forming galaxies in the SDSS

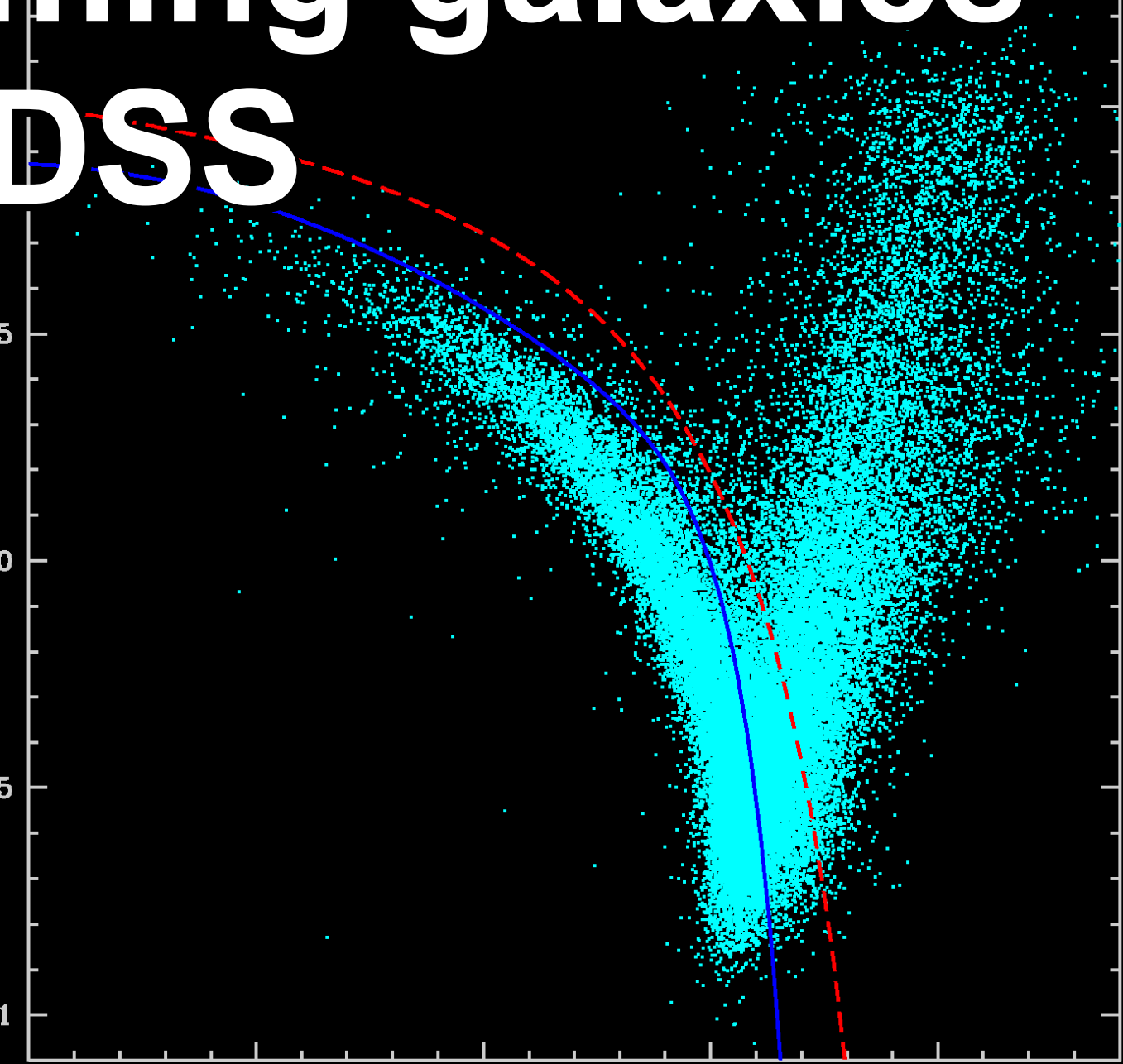
$\log [\text{OIII}]\lambda 5007 / \text{H}\beta$

0.5
0
-0.5
-1

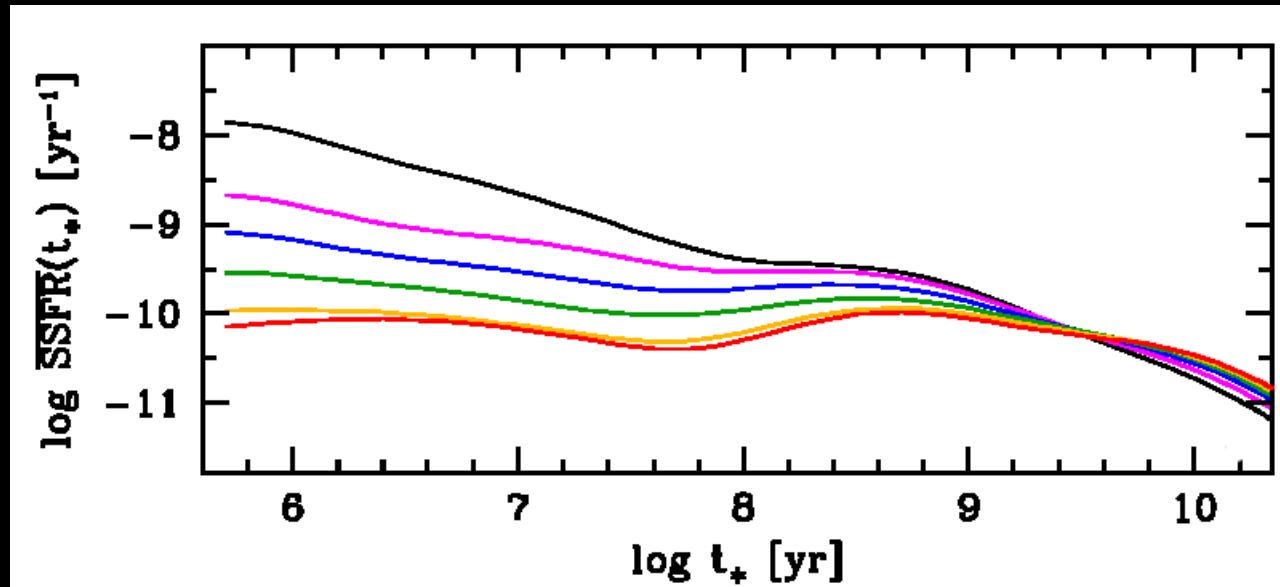
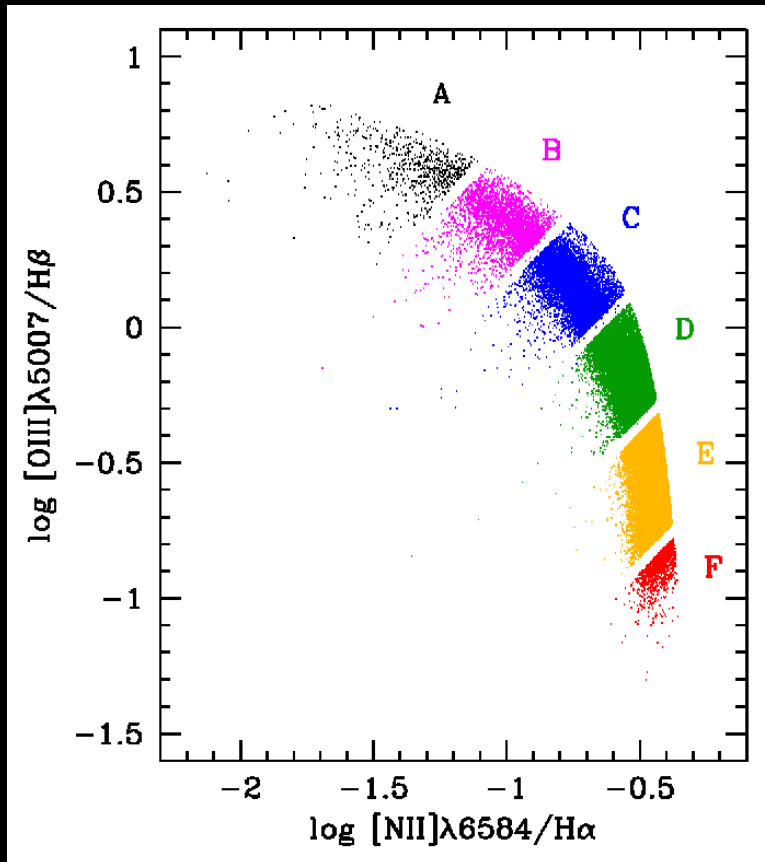
$\log [\text{NII}]\lambda 6584 / \text{H}\alpha$

-2 -1.5 -1 -0.5 0

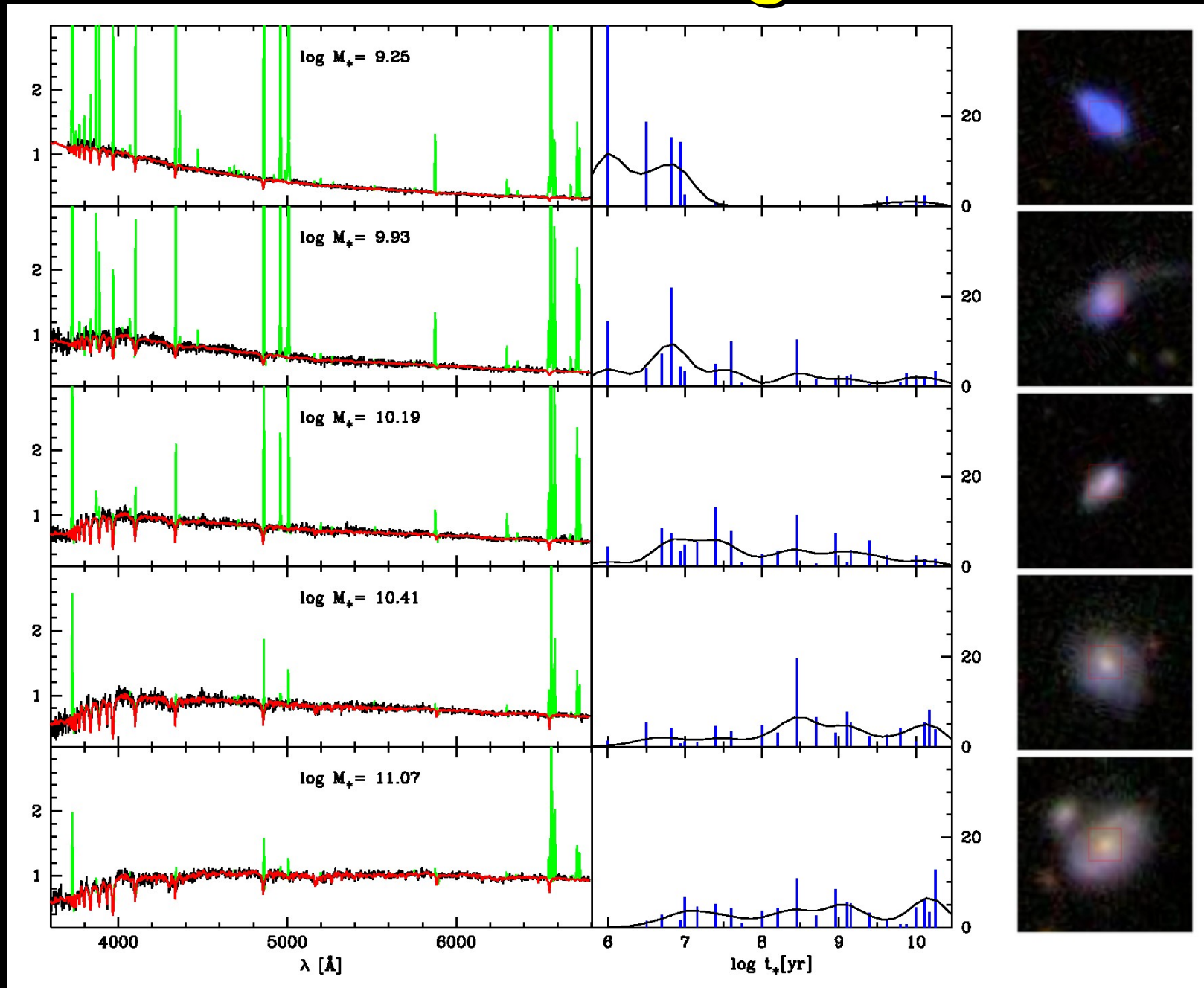
Natalia Vale Asari
SAB-XXXIII
05/09/2007



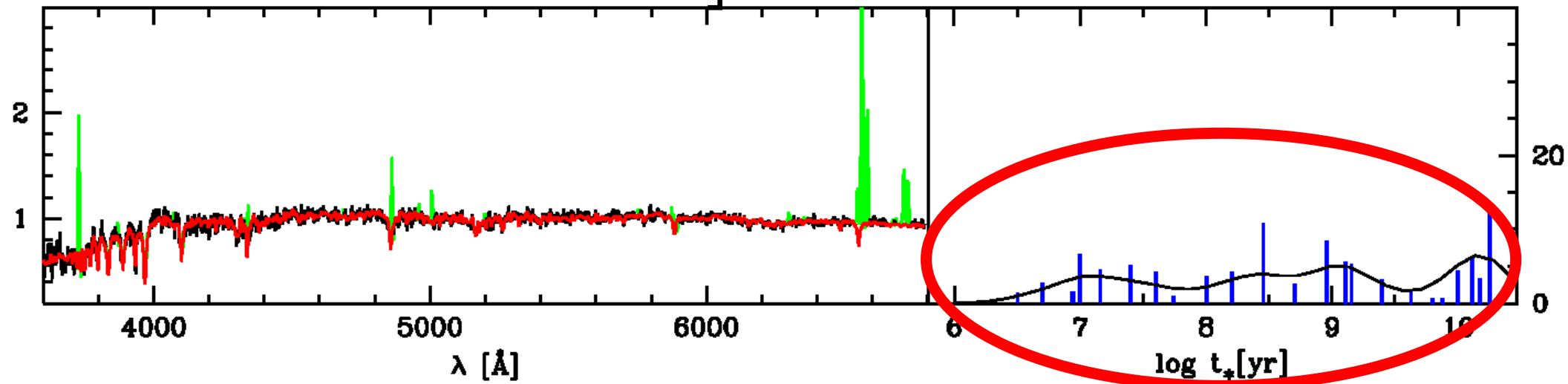
Resultados: Histórias de formação estelar para galáxias de diferentes metalicidades



Amostra: **82 302** galáxias SF do SDSS modeladas com o **Starlight**

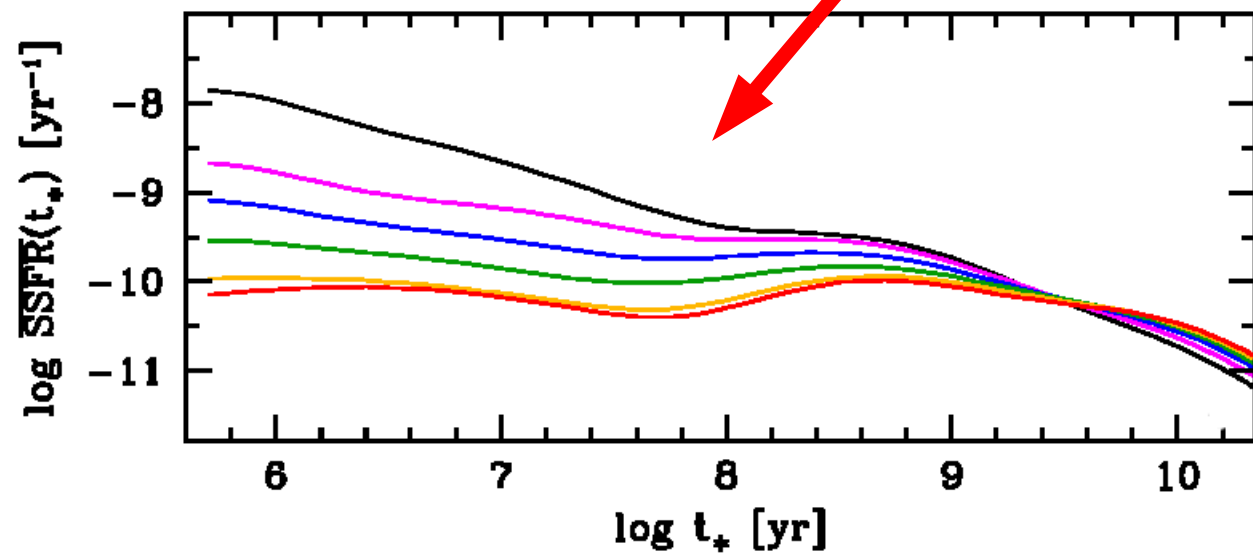


SFH: da componente estelar

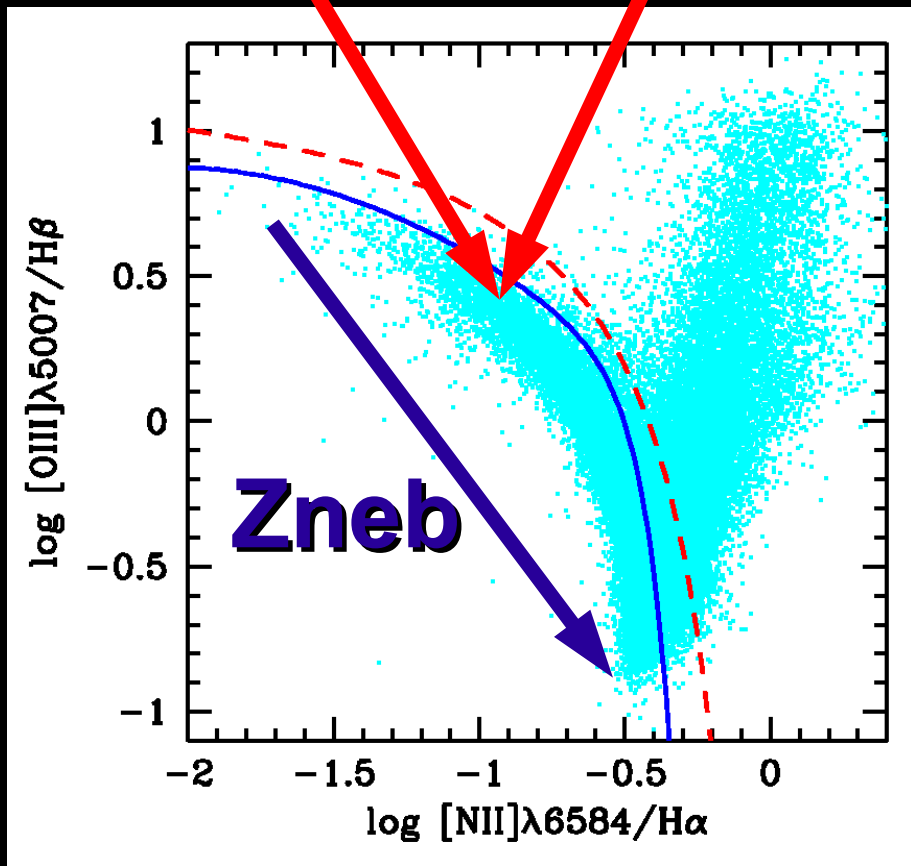
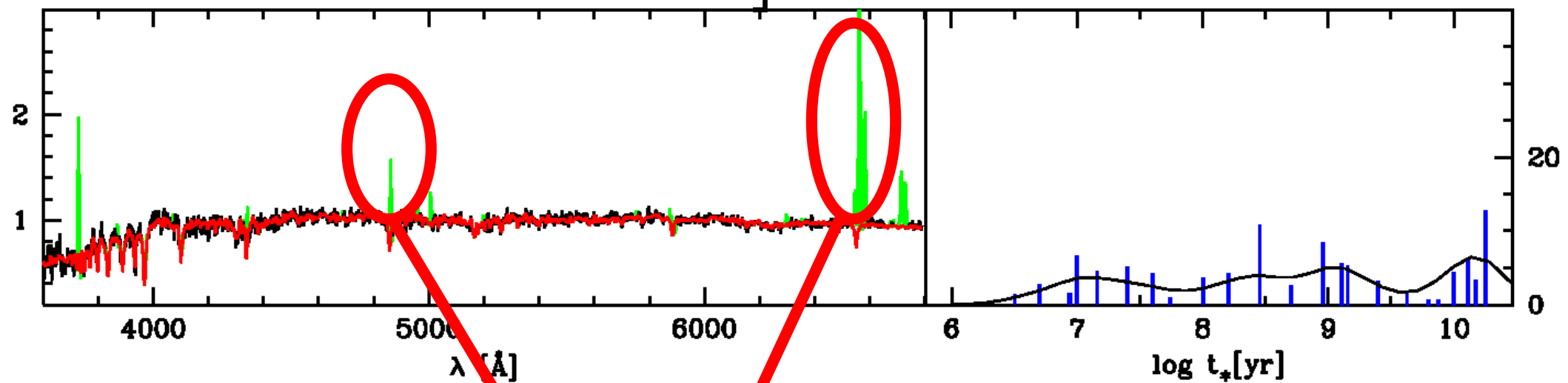


$$\text{SSFR}(t_*) = \frac{1}{M_*} \frac{dM_*}{dt_*}$$

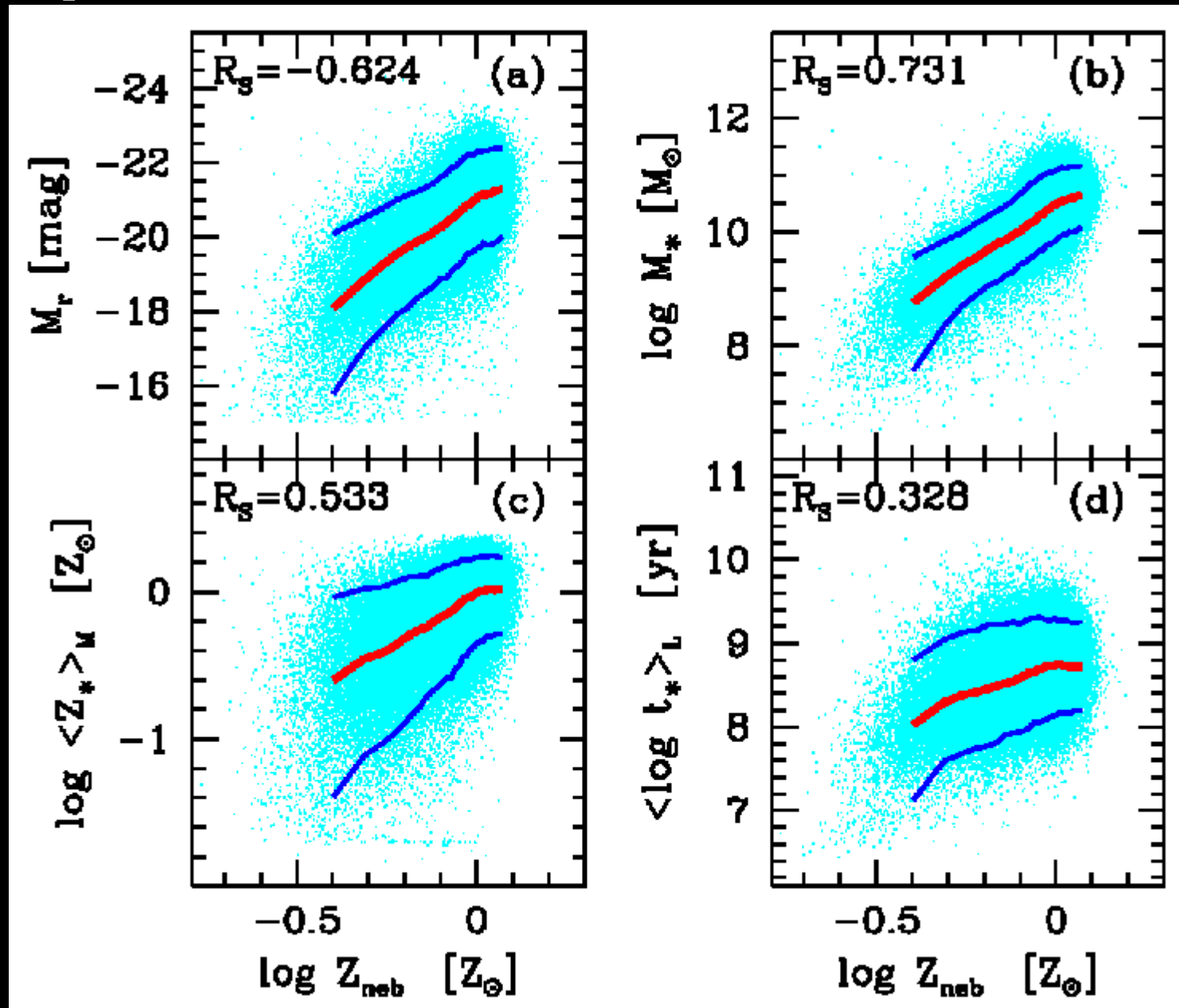
L \rightarrow **M**



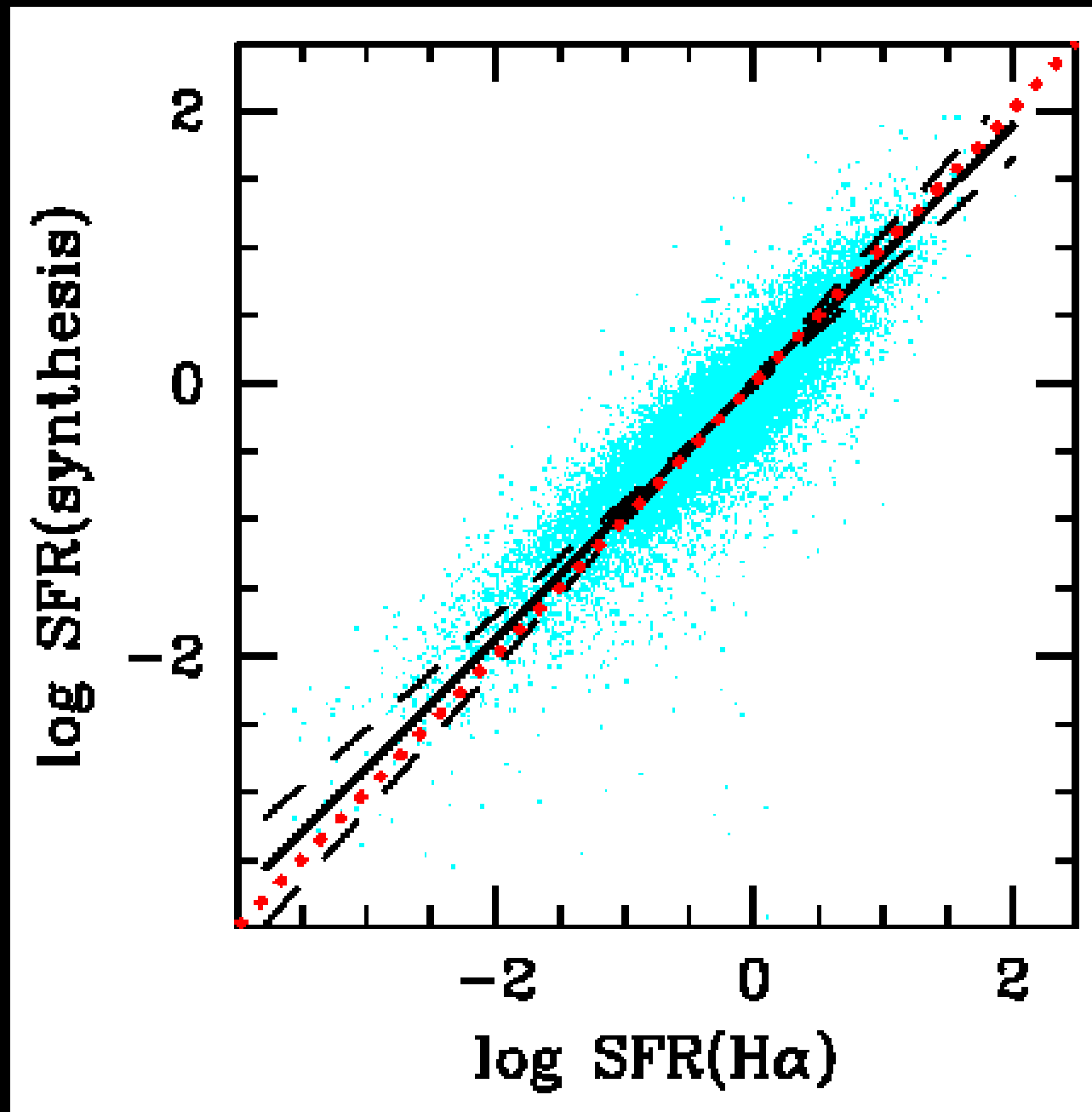
Zneb: da componente nebular



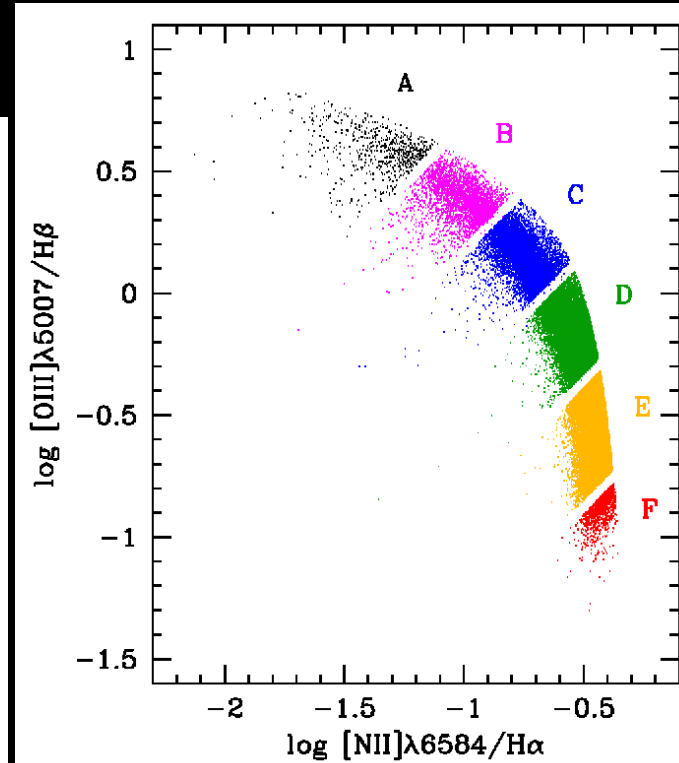
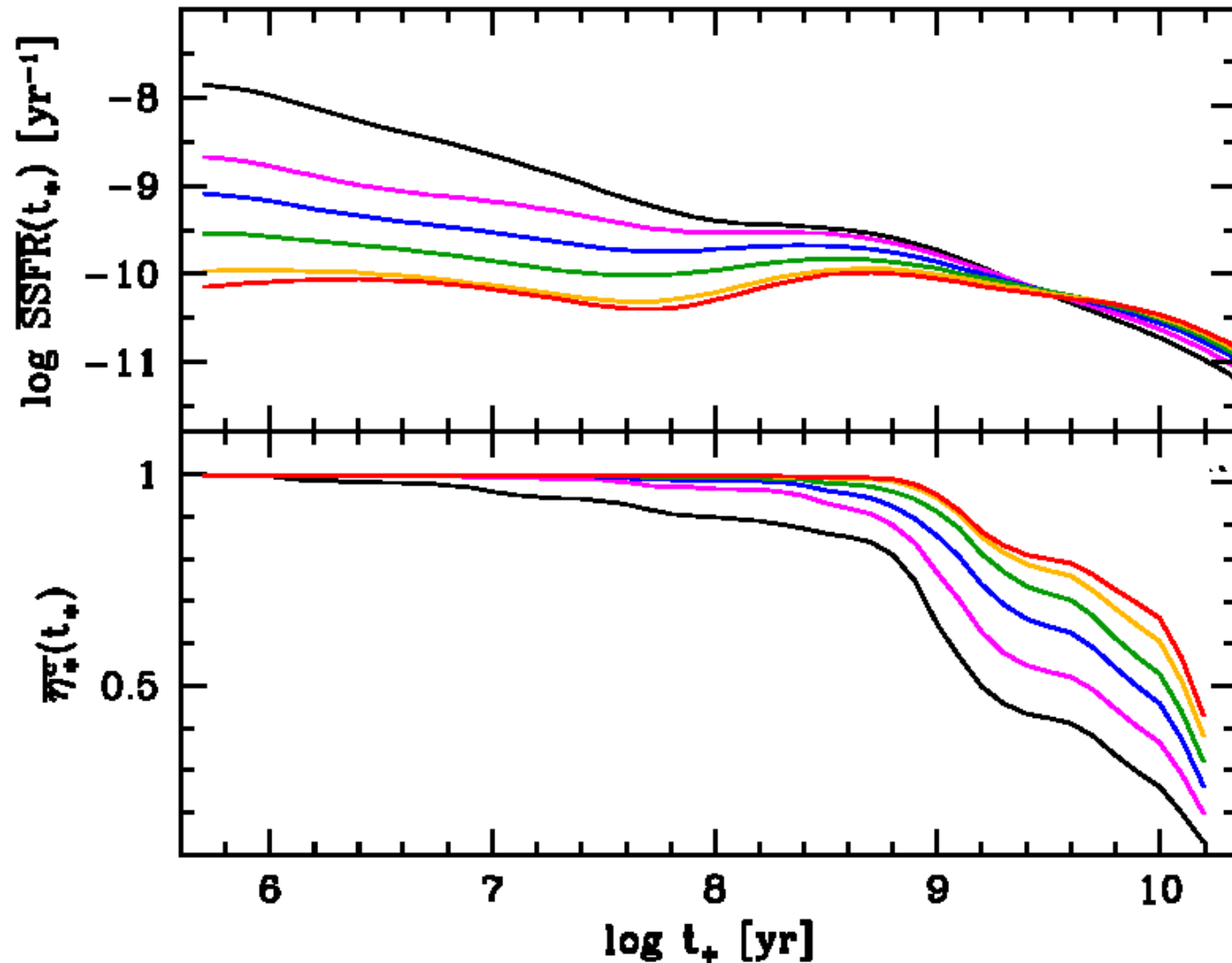
Correlações: Zneb X propriedades físicas / da síntese



SFR $H\alpha$ X SFR síntese



Histórias de formação estelar em bins de Z_{neb}



Bins em $\log Z_{\text{neb}}$

A: -0.71 \rightarrow -0.45

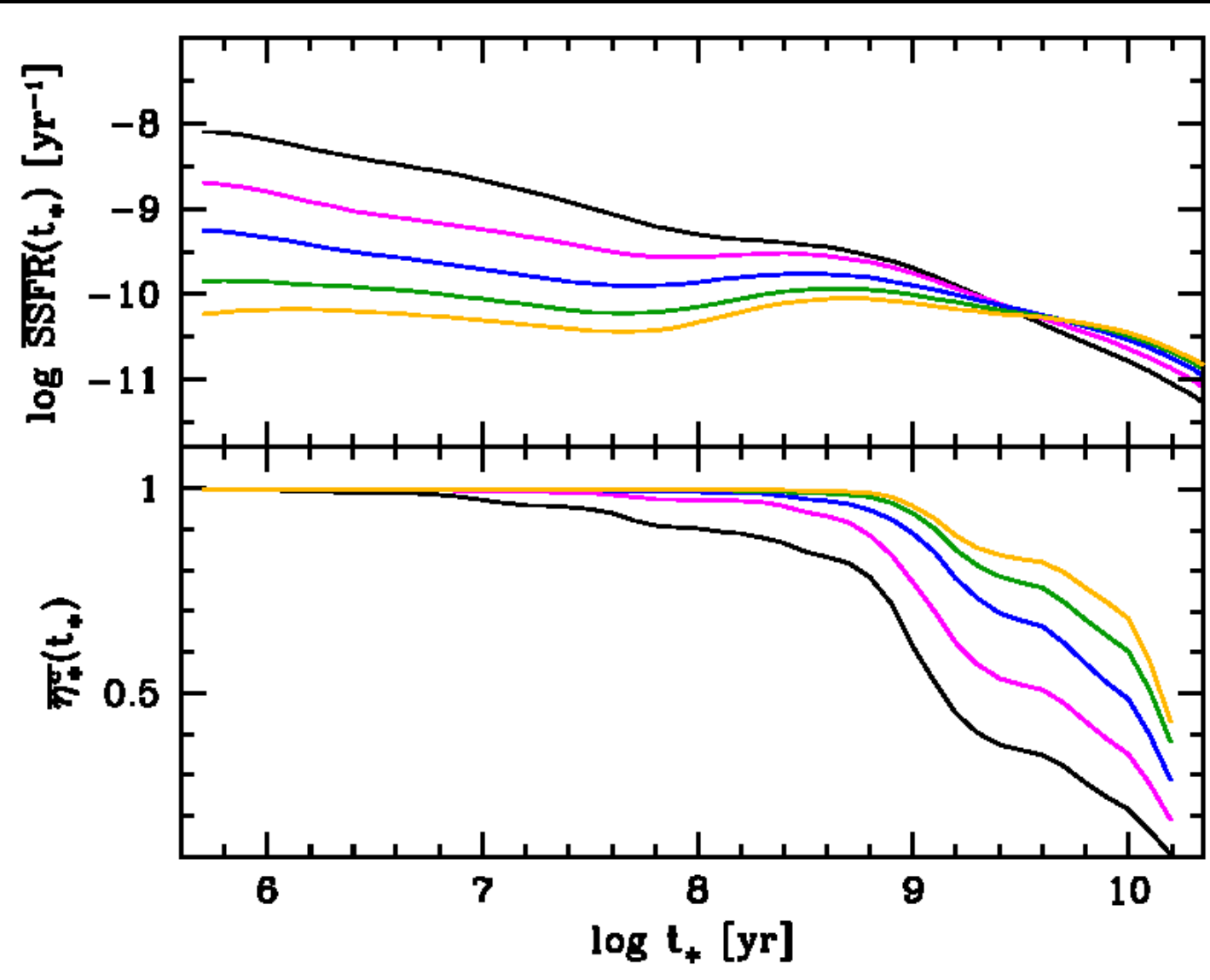
B: -0.45 \rightarrow -0.32

C: -0.32 \rightarrow -0.19

D: -0.19 \rightarrow -0.06

E: -0.06 \rightarrow 0.07

Histórias de formação estelar em bins de massa estelar



Bins em $\log M_*$

A: 7.0 → 8.0

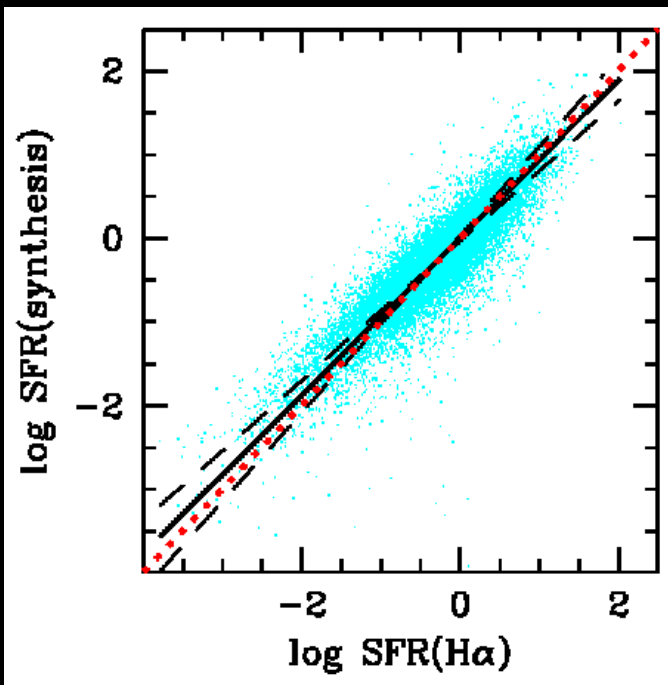
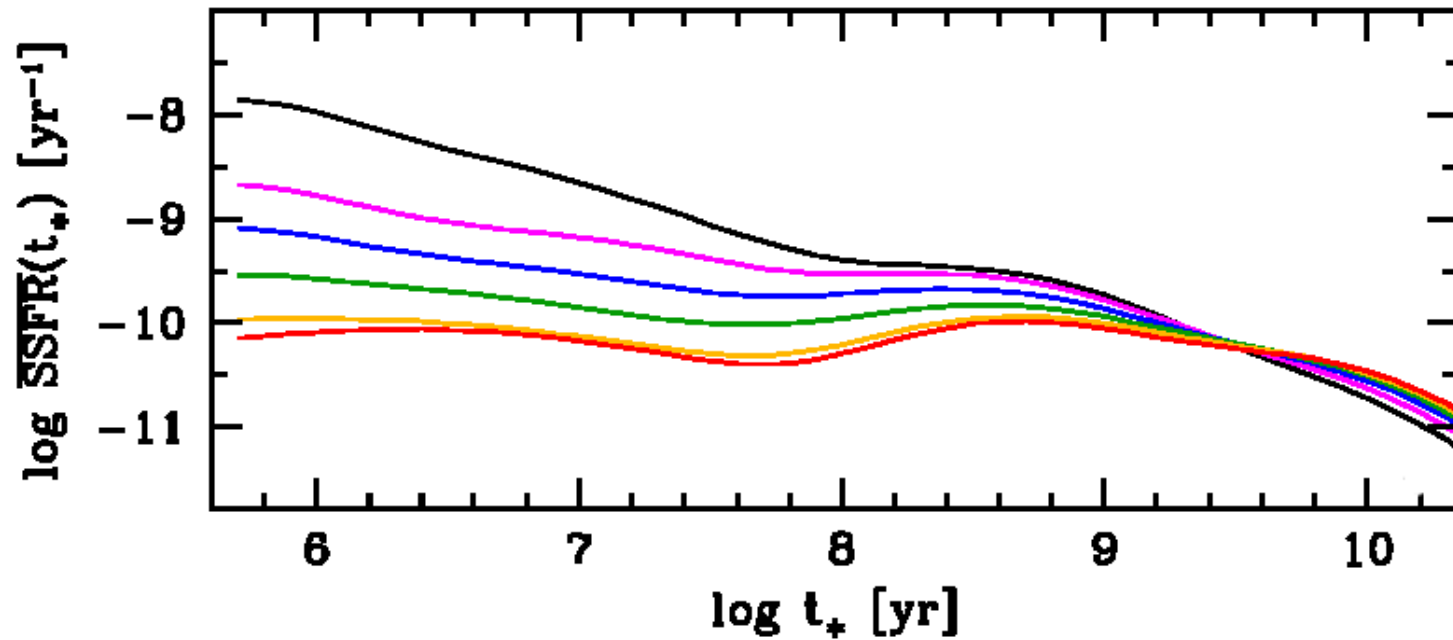
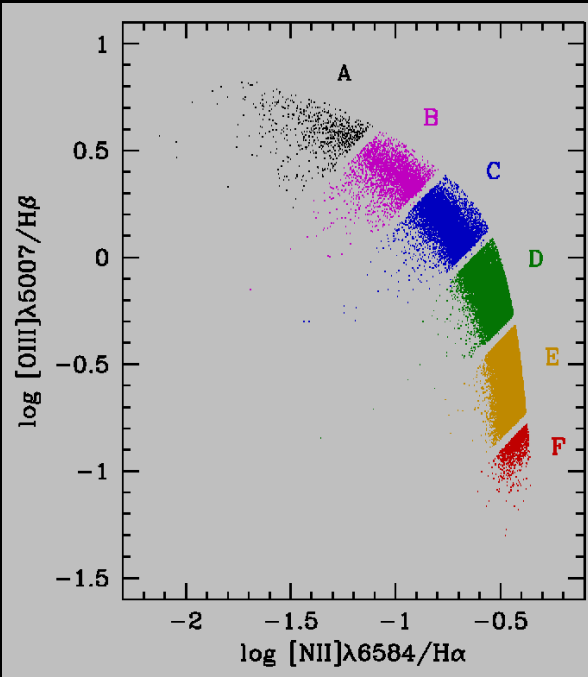
B: 8.0 → 9.0

C: 9.0 → 10.0

D: 10.0 → 11.0

E: 11.0 → 12.0

Resultados:



Saiba mais:

Asari et al. (2007)

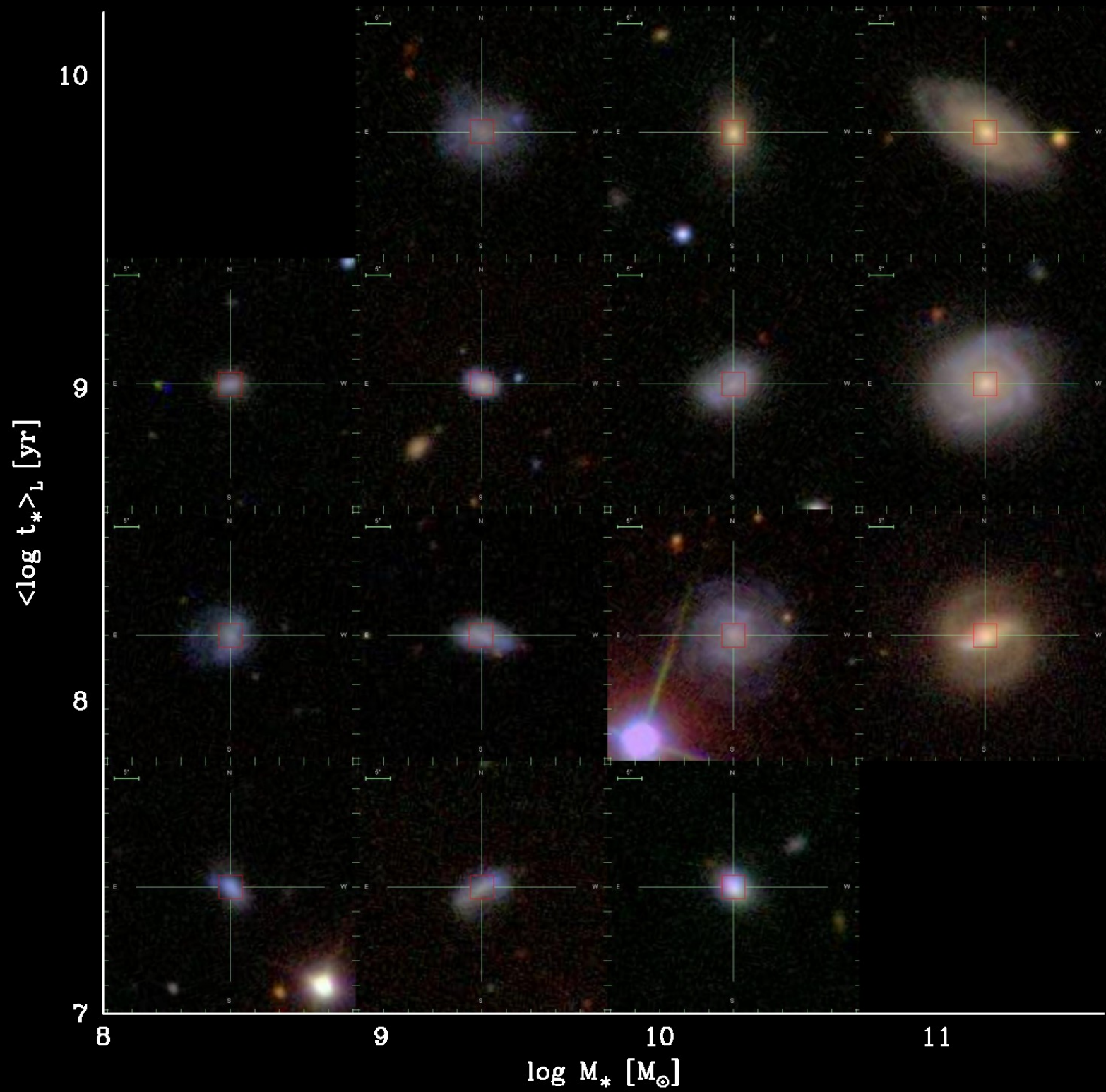
Cid Fernandes et al. (2006)

Poster 140: Jean

Poster 155: Marielli

Poster 163: William

<http://starlight.ufec.br>



Mais detalhes...

Efeitos de seleção

